

УДК 518.5+519.2

СТАТИСТИЧЕСКАЯ ПРОВЕРКА ДАТЧИКА ПСЕВДОСЛУЧАЙНЫХ
ЧИСЕЛ

М.В.Антипов, Ф.М. Израйлев, Б.В.Чириков

Для решения задач методом статистических испытаний – методом Монте-Карло – необходимо иметь набор случайных чисел (чаще всего равномерно распределенных в $[0,1]$). Одним из наиболее распространенных и очень удобных для применения на ЭВМ методов получения таких чисел является использование некоторого простого преобразования (алгоритма), генерирующего последовательность так называемых псевдослучайных чисел. Последнее может быть легко трансформировано в псевдослучайный адрес для получения функции случайного аргумента, заданной в виде таблицы в памяти ЭВМ [1].

По-видимому, из большого количества изобретенных алгоритмов наилучшим является мультипликативный [2]:

$$\tau_{n+1} \equiv k\tau_n \pmod{2^P}; \quad \tau, k - \text{целые.} \quad (1)$$

Дело в том, что аналогичное преобразование для действительных чисел

$$x_{n+1} = \{kx_n\} \quad (2)$$

имеет положительную колмогоровскую энтропию [3,4] и, следовательно, является наилучшей из известных в настоящее время имитаций случайного процесса, возможной для динамической системы. Поскольку, однако, теоремы эргодической теории справедливы с точностью до меры нуль, переход к целым числам (1) может привести к появлению аномалий. Хорошо известным примером таких аномалий является существование периода псевдослучайной последовательности. Возможны, однако, и более тонкие нарушения статистических свойств. Эти нарушения могли не обнаружиться при предыдущих исследованиях [5-9] датчика (1). В настоящей рабо-

те приводятся результаты дополнительной проверки датчика (I), отличающейся от [5-9] большим числом методов, повышением статистической точности, а также увеличением объема последовательности.

Согласно [10] максимальный период (2^{P-2}) последовательности (I) достигается при

$$\kappa \equiv 3; 5 \pmod{8}; \tau - \text{нечетное}, \quad (3)$$

а коэффициент парной корреляции соседних псевдослучайных чисел [II] будет

$$\rho \approx 1/\kappa. \quad (4)$$

Поскольку целочисленное умножение по модулю 2^P на κ и $(\kappa-2^P)$ эквивалентно, то при $\kappa \geq 2^{P-1}$ корреляции будут увеличиваться по сравнению с (4). Согласно [II] увеличение корреляций возможно даже при $\kappa > 2^{(P/2)}$ в зависимости от конкретного значения κ .

Для проверки качества псевдослучайной последовательности была использована система из пяти тестов:

1. Проверка равномерности. Интервал $[0,1]$ разбивался на 256 равных частей, и подсчитывалось количество попаданий псевдослучайного числа в каждый элементарный интервал длиной $1/256$. Величина χ^2 с 255 степенями свободы распределена приближенно нормально, с параметрами $(255, 2x255)$.^{x)} Поэтому и $(\chi^2 - 255)/510$ распределена приближенно нормально, с параметрами $(0,1)$.

2. Проверка парной корреляции. Единичный квадрат разбивался на 256 частей (каждая сторона разбивалась на 16 частей). Первые четыре разряда ненормализованных псевдослучайных чисел τ_n и τ_{n+4} давали координаты одного из 256 элементарных квадратов. Дальнейшая обработка повторяет предыдущую.

3. Проверка комбинаций. Подсчитывалось количество единиц в первых 20 разрядах ненормализованного псевдослучайного числа. Так как известно гипотетическое распределение вероятностей $P\{S=i\} = C_{20}^i / 2^{20}$, где $0 \leq i \leq 20$ - число единиц, то легко получить распределение χ^2 с 20 степенями свободы.

4. Проверка серий. Подсчитывалось количество серий псевдослучайной последовательности вида $0 < \tau_n < 0,5$ и $0,5 < \tau_n < 1$ длины 1, 2, 3, Гипотетическая вероятность серии длины $i > 0$ того или другого вида равна $P\{S=i\} = 1/2^{i+2}$, а математическое ожидание общего количества серий $R = (\mathcal{N}+2)/2 = 50001$, где \mathcal{N} - длина псевдослучайной последовательности. Подсчитывалось общее ко-

личество серий и величина χ^2 с 30 степенями свободы (учитывалось количество серий первого вида длины от 1 до 16 и второго вида от 1 до 15).

5. Проверка интегральным методом. Рассматривались суммы вида:

$$I_s = \sum_{i=1}^{\mathcal{N}} (-1)^{\lfloor i/s \rfloor} \tau_i,$$

где $\lfloor \cdot \rfloor$ - целая часть числа. Тогда при $s = 1, 2, \dots$ образуются знакопеременные суммы, у которых гипотетическое математическое ожидание равно нулю, а дисперсия - $\mathcal{N}/12$. Величины $I_s = I_s / \sqrt{\mathcal{N}/12}$ распределены асимптотически нормально, с параметрами $(0, 1)$. Выбирая 10 интервалов величины I_s таким образом, чтобы гипотетическая вероятность попадания в любой из них была равна $1/10$, получаем распределение χ^2 с 9-ю степенями свободы. Нужно заметить, что при этой проверке стандартное \mathcal{N} заменялось на $\mathcal{N}_s = 2S [\mathcal{N}/2S]$ для "зануления" математического ожидания I_s . Проверка интегральным методом означает, по существу, вычисление частотного спектра псевдослучайного процесса. Для случайного процесса спектр должен быть непрерывным.

Первоначальная проверка датчика (I) производилась на машине "М-20", где он имел вид:

065 $\langle \tau_o \rangle \langle \kappa \rangle 0000$ - произведение без нормализации и округления.

047 0000 0000 $\langle \tau \rangle$ - выдача младших разрядов произведения.

$\langle \kappa \rangle : 100 0000 0100 0013$

$\langle \tau_o \rangle : 100 5633 4012 5643$

На каждом шаге в ячейке $\langle \tau \rangle$ образуется ненормализованное псевдослучайное число.

На машине "Минск-22" датчик (I) реализуется следующими командами:

τ_o :	- 70 00	$\langle \tau_o \rangle$	$\langle \kappa \rangle$	- вывод младших разрядов произведения.
	- 33 00	α	α	- условный переход по переполнению.
	+ 12 00	0000	$\langle \tau_o \rangle$	- занесение.
	+ 72 00	$\langle c \rangle$	$\langle \tau \rangle$	- логическое умножение.
$\langle c \rangle :$	- 7777 7777 7400			
$\langle \tau_o \rangle :$	- 5633 4012 5643			
$\langle \kappa \rangle :$	- 0000 0100 0013			

x) Первый параметр - среднее значение, второй - дисперсия.

В ячейке $\langle z \rangle$ получается ненормализованное псевдослучайное число вида:

$$+ \varepsilon_1, \varepsilon_2, \dots, \sum_{i=1}^{\infty} 00000000.$$

В машине "Минск-22" при операции целочисленного умножения мантисса числа занимает как и в "М-20" 36 разрядов слова. Поэтому свойства датчика и, в частности, его период одинаковы на обеих машинах.

Иногда необходимо иметь хорошую в статистическом отношении последовательность, составленную из какого-либо двоичного разряда или группы разрядов псевдослучайного числа (например, адресной части [I]). Тогда период для j -го разряда равен 2^{P-1-j} . Действительно, как нетрудно убедиться, рассмотрение j -го разряда (или группы разрядов, начиная с j -го) означает, по существу, что вместо датчика $\tau_{i+1} \equiv \kappa \tau_i \pmod{2^P}$, реализуется датчик $\tau_{i+1} \equiv \kappa \tau_i \pmod{2^{P+1-j}}$ (разряды $I, 2, \dots, j-1$ не влияют на j -ый разряд очередного псевдослучайного числа; при $j = I$ возвращаемся к исходному случаю). Для увеличения периода можно либо сдвигать полученное псевдослучайное число вправо, если нужна небольшая группа разрядов, либо применять возмущение κ [12]:

$$\begin{aligned} \tau_{i+1} &\equiv \kappa_j \tau_j \pmod{2^P}, \\ \kappa_{e+1} &\equiv \kappa_e + c \pmod{2^P}, \end{aligned} \quad (5)$$

где $c = 8$ — минимальная константа, для которой $\kappa_e \equiv 3 \pmod{8}$ для всех e . Согласно [12] период увеличивается при этом в \sqrt{L} раз, где L — число шагов, через которое вводится возмущение.

Результаты тестовых проверок датчика (I) сведены в таблицу I.

Таблица I

Тест	Равномерность	Парные корреляции	Серии χ^2_{30} R	Комбинации χ^2_{20}	Интегральный χ^2_g
Данные проверки	I, 10	0,63	34,5 49996	22,2	6,23
Ожидаемый интервал	$0 \pm 1,96$	$0 \pm 1,96$	30 ± 15 50001 ± 310	$20 \pm 12,5$	$< 16,9$

В первой строке таблицы указаны полученные в результате проверки значения тестовых величин, описанных выше. Во второй строке указаны ожидаемые с вероятностью 95% интервалы тестовых величин для случайной последовательности.^{x)} Длина последовательности во всех испытаниях, кроме интегрального метода (см. выше), равна $N = 10^5$.

Результаты проверки интегральным методом при самых различных значениях S сведены в таблицу 2. Ожидаемый 95%-й интервал равен $0 \pm 1,96$.

Таблица 2

s	J_s	S	J_s	S	J_s	S	J_s	S	J_s
I	I, 479	3I	0,611	80I	0,166	I503	-0,086	340I	0,400
2	I, 169	5I	-0,339	90I	0,687	I523	-0,026	360I	0,167
3	-0,667	77	-0,207	I000	-0,996	I555	-0,912	380I	0,913
5	0,634	20I	-0,291	I00I	-0,596	I655	-0,932	400I	0,805
6	-0,200	25I	0,142	I10I	-0,020	I755	0,62I	440I	-0,560
II	-0,793	30I	0,887	I20I	I, 647	200I	0,675	480I	-0,442
I3	-I, 163	40I	0,319	I30I	-0,765	220I	-0,175	520I	0,475
I7	-0,797	50I	0,835	I40I	0,403	240I	0,865	560I	0,910
I9	-0,567	60I	0,844	I50I	0,337	280I	0,566	700I	-0,115
2I	0,340	70I	I, 158	I502	0,097	320I	0,772	I0000	0,48I

Как отмечалось выше, результаты всех этих испытаний полностью переносятся на машину "Минск-22". Тем не менее на ней была проведена проверка датчика на равномерность для большей длины последовательности $N = 2^{23} \approx 10^7$ с возмущением (5), но с меньшим числом ячеек — 128. Получена величина $\chi^2_{127} = 123,9$ при ожидаемом 95%-м интервале: 127 ± 16 .

Наконец, была предпринята дополнительная проверка датчика (I), использующая уникальные возможности машины БЭСМ-6. Были выбраны следующие параметры датчика (в восьмеричной записи в ячейке БЭСМ-6):

$$\begin{aligned} \langle \kappa \rangle &: 40I3064256500425; \quad \frac{K}{2^P} \approx \frac{11}{16}. \\ \langle \tau_o \rangle &: 40I35436604I4035; \end{aligned} \quad (6)$$

x) Интервалы указаны по нормальному распределению (кроме последнего столбца).

Точные значения параметров несущественны при выполнении условий (3). Даже очень "круглая" константа $\langle K \rangle$: 4000000000200003 не ухудшает статистические свойства датчика. Однако заметим, что это, по-видимому, не всегда так [5,8]. Поэтому лучше выбирать "некруглые" параметры (6).

Использовались три метода проверки: равномерность (16384 ячейки); парные корреляции z_{n+1}, z_n (128×128 ячеек) и 14 -кратные корреляции соседних чисел по одному двоичному разряду ($2 \times 2 \dots = 2^{14}$ ячеек).

Основные результаты приведены в табл. 3. Критерием случайности для всех трех методов служило отклонение от равномерного распределения во всем массиве из $2^{14} = 16384$ ячеек. Характеристикой отклонения является отношение дисперсии (D) к среднему значению (M) количества псевдослучайных чисел в одной ячейке. Ожидаемое значение отношения для случайной последовательности равно (с доверительной вероятностью 95%):

$$D/M = 1.0 \pm 0.022. \quad (7)$$

В табл. 3 приведены также значения \sqrt{D}/M – статистической точности проверки.

Таблица 3

	N	10^3	10^4	10^5	10^6	10^7	10^8
Равномерность	$\sqrt{D}/M\%$	405	128	40	13	4,0	1,3
	D/M	1,003	1,003	1,003	1,006	1,000	0,977
	m	15415	8911	27	0	0	0
Парная корреляция	$\sqrt{D}/M\%$	407	128	40	13	4,0	1,3
	D/M	1,013	1,000	0,998	0,983	0,987	1,004
	m	15420	8905	38	0	0	0

В качестве дополнительного контроля статистических свойств был произведен подсчет числа пустых ячеек массива 512×1023 для парных корреляций. Массив является логическим, причем каждый элемент занимает один двоичный разряд [13]. Всего используется 16384 слова по 32 разряда в каждом. Все размеры являются степенью двойки, что резко упрощает программу. Результаты приведены в табл. 4, где m и m_{teor} – получено и ожидаемое число незаполненных ячеек в массиве.

Таблица 4

	N	10^3	10^4	10^5	10^6	10^7
Парная корреляция	m	523288	514376	433175	77952	0
	m_{teor}	522700 ± 700	514300 ± 700	433600 ± 650	78000 ± 280	0

В табл. 5 представлены результаты проверки статистических свойств для 14 -кратных корреляций I-го и 14 -го двоичных разрядов. Для увеличения периода в последнем случае применялось возмущение константы K (5).

Таблица 5

	N	10^3	10^4	10^5	10^6	10^7	10^8
I разряд	$\sqrt{D}/M\%$	412	127	41	13	4,0	1,3
	D/M	1,037	0,982	1,008	0,997	0,974	1,002
	m	15431	8848	31	0	0	0
I4 разряд	$\sqrt{D}/M\%$	414	128	41	13	4,0	1,3
	D/M	1,045	1,006	1,013	0,994	0,989	1,008
	m	15431	8889	33	0	0	0

Наконец, для парных корреляций было построено вторичное распределение отклонений от среднего, что является более тонким методом проверки статистических свойств датчика [5]. Случайной величиной здесь является отклонение числа попаданий в ячейку двумерного массива от среднего значения, нормированное на корень из дисперсии. Распределение производилось в интервал $(-4, 4)$, разделенный на 128 ячеек. График полученного распределения и сравнение с гауссовской кривой приведены на рисунке. Разброс точек вызывается двумя причинами: статистическим разбросом $\pm 5\%$, который хорошо согласуется с большинством точек на рисунке, и разбросом за счет целочисленности случайной величины. Минимальное изменение случайной величины составляет примерно $1/5$ размера ячейки распределения, что может вызвать колебания $\pm 20\%$. Это объясняет выпадение нескольких точек (особенно одной). Небольшой выход последнего значения D/M в табл. 3 из 95%-го интервала (7) объясняется недостаточной длиной периода

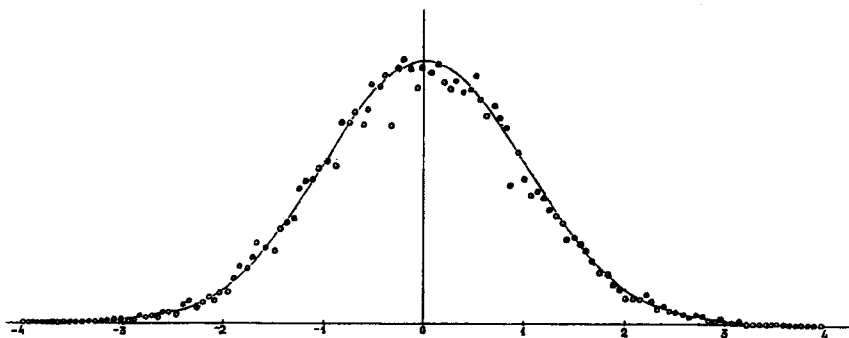


Рис.

для I4-го разряда, который еще существен при проверке на равномерность. Возмущение константы в этом случае не произошло; период I4-го разряда равен $2^{25} \approx 3 \cdot 10^7 < N = 10^8$.

Подводя итоги, можно сказать, что ни в одном из проведенных испытаний не было обнаружено отклонения свойств последовательности (I) от случайной.

Пользуемся случаем выразить искреннюю благодарность Ю.М. Волошину, Ю.Г. Косареву и А.И. Хисамутдинову за интересные дискуссии и полезные советы, а также группе обслуживания БЭСМ-6 и особенно В.П. Минаеву за большую помощь при проведении вычислений.

Л и т е р а т у р а

1. Ю.Г. Косарев. Примеры использования таблиц для сокращения времени счета - Данный сборник, стр. 46-54.
2. D.H. Lehmer. Annals Comp.Lab.Harvard Univ., 26, 141, 1951.
3. В.А. Рохлин. Изв. АН СССР, мат., 25, № 4, 499 (1961).
4. А.Г. Постников. Эргодические вопросы теории сравнений и теории диофантовых приближений. - Труды мат. ин-та им. Стеклова, XXXII, 1966 г.
5. J. Allard, A. Dobell, T. Hull. Journ Assoc. Comp. Mach., 10, 131, 1963.
6. R. Kronmal, ibid, 11, 357, 1964.
7. A. Rotenberg, ibid, 7, 75, 1960.
8. T. Hull, A. Dobell, ibid, 11, 31, 1964.
9. D. MacLaren, G. Marsaglia, ibid, 12, 1965.
10. E. Bofinger, ibid, 5, 261, 1958.

- II. M.Greenberger, ibid, 8, 163, 1961.
12. И.М. Соболь. Теория вероятностей и ее применение, 2, 367, 1964.
13. Ю.М. Волошин, А.П. Ершов, Г.И. Коужин. Входной язык систем автоматизации программирования. Изд. СО АН СССР, 1964.
14. А.И. Голенко. Моделирование и статистический анализ псевдослучайных чисел на электронных вычислительных машинах, 1965.

Институт ядерной физики
СО АН СССР

Поступила в редакцию
15.II.1967 г.